

And from Eqs. (9.33) and (9.35)

$$\mathbf{E}_2 = \left(\frac{[\dot{p}]}{c^2 r} + \frac{[\ddot{p}]}{c^2 r} \right) \cos\theta \mathbf{e}_r + \left(\frac{[\dot{p}]}{c^2 r} \right) \sin\theta \mathbf{e}_\theta \quad (9.37)$$

(In the equatorial plane, the unit vector \mathbf{e}_θ is antiparallel with the polar axis defined by \mathbf{p} .) In this component notation, Eq. (9.28) becomes

$$\mathbf{E}_3 = -\frac{[\ddot{p}]}{c^2 r} \cos\theta \mathbf{e}_r + \frac{[\dot{p}]}{c^2 r} \sin\theta \mathbf{e}_\theta \quad (9.38)$$

At last, we have the complete evaluation of Eq. (9.24) for the electric field of a time-dependent linear dipole:

$$\begin{aligned} \mathbf{E}(\mathbf{r}, t) &= \mathbf{E}_1 + \mathbf{E}_2 + \mathbf{E}_3 \\ &= \left(\frac{2[\dot{p}]}{r^3} + \frac{2[\ddot{p}]}{c^2 r} \right) \cos\theta \mathbf{e}_r + \left(\frac{[\dot{p}]}{r^3} + \frac{[\ddot{p}]}{c^2 r} \right) \sin\theta \mathbf{e}_\theta \end{aligned} \quad (9.39)$$

Note especially the cancellation of the $[\dot{p}]$ terms in the radial components of Eqs. (9.37–38). Thus the only inverse first-power r dependence is in the \mathbf{e}_θ component (from \mathbf{E}_3), which is the transverse radiation term of Eq. (9.13) [see the footnote, p. 290]. The two inverse-cube terms are the familiar field of a static dipole, Eq. (2.9) [and (2.29)]. The two remaining, inverse-square, terms represent the intermediate field that we have just worked so hard to find.

Similarly, for the magnetic field of Eq. (9.27),

$$\mathbf{B}(\mathbf{r}, t) = \left(\frac{[\dot{p}]}{c^2 r} + \frac{[\ddot{p}]}{c^2 r} \right) \sin\theta \mathbf{e}_\varphi \quad (9.40)$$

in which we recognize the inverse first-power term as the radiation term of Eq. (9.14). And, in view of Eq. (9.23), the inverse-square term is nothing more than the magnetostatic Biot-Savart law of Eq. (1.36) (Problem 9-3). There is no “intermediate” term in the magnetic field.

From Eqs. (9.39–40) we note that, while \mathbf{E} has a radial component in the near-field region, \mathbf{B} has only an azimuthal component at any distance. The radiation from a time-dependent electric dipole is therefore called *transverse magnetic* (TM). At large distances where $E_r \rightarrow 0$, both fields are transverse and the radiation is called *transverse electromagnetic* (TEM)—approaching the familiar plane wave of Chapter 5. The radiation from a time-dependent magnetic dipole (Section 9.8) turns out to be *transverse electric* (TE).

The most common time dependence is a sinusoidal oscillation with

$$[p] = p_0 e^{-i\omega t'} \quad (9.41)$$

where $t' = t - r/c$ is the retarded time. For this case, and with $k = \omega/c = 2\pi/\lambda$,

$$E_r = 2p_0 k^3 \left\{ \frac{1}{(kr)^3} - \frac{i}{(kr)^2} \right\} \cos\theta e^{i(kr - \omega t)} \quad (9.42)$$

$$E_\theta = p_0 k^3 \left\{ \frac{1}{(kr)^3} - \frac{i}{(kr)^2} + \frac{1}{kr} \right\} \sin\theta e^{i(kr - \omega t)} \quad (9.43)$$

$$B_\varphi = -p_0 k^3 \left\{ \frac{i}{(kr)^2} + \frac{1}{kr} \right\} \sin\theta e^{i(kr - \omega t)} \quad (9.44)$$

Figure 9-6, adapted from Hertz,* shows the electric field-lines at four instants in a half cycle of the oscillation. At $t = 0$ (lower right frame), the near field has the appearance of a static dipole (compare Fig. 2-2). As time advances, the field-lines bulge, neck down, and finally are pinched off. The

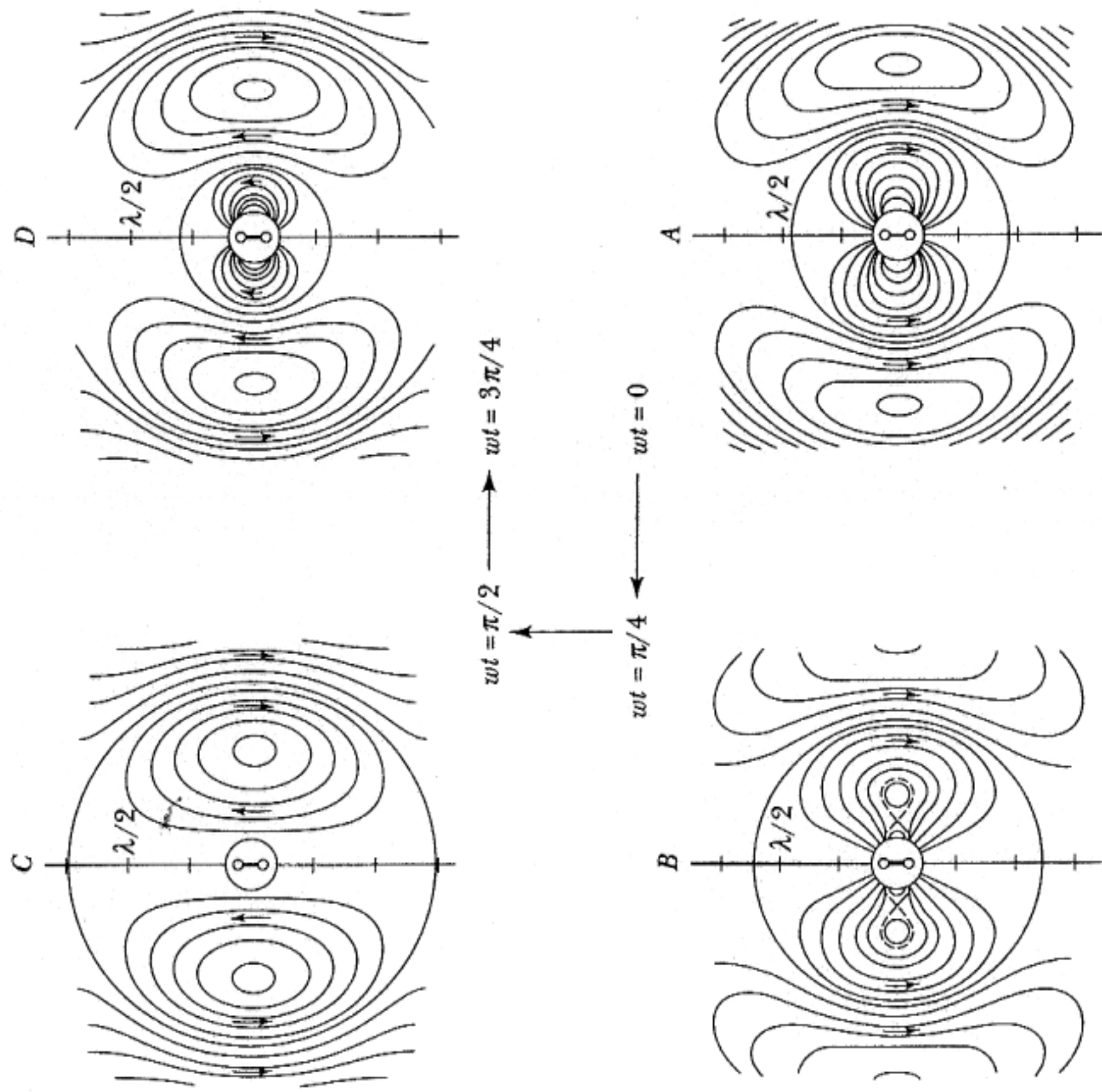


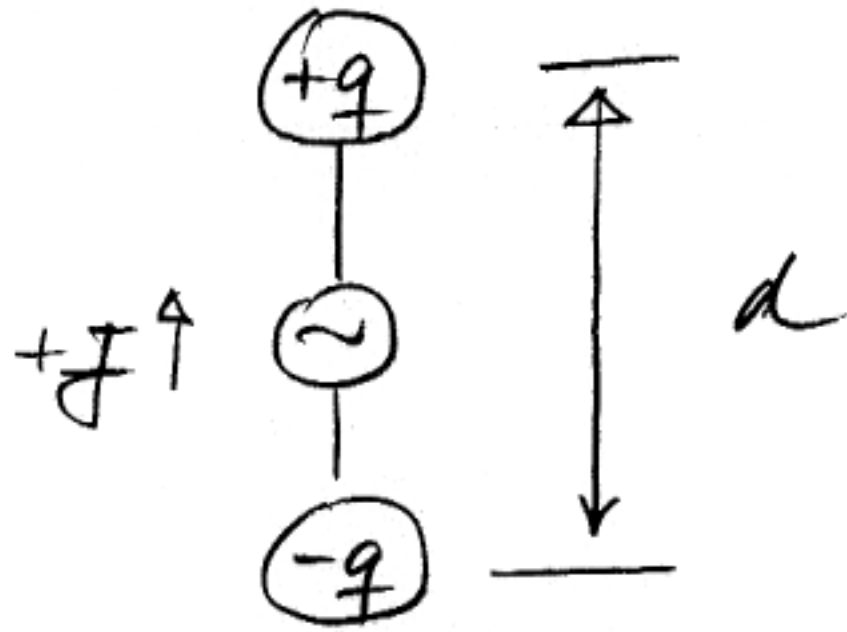
FIGURE 9-6. Snapshots of oscillating dipole. [From Hertz, *Wiedemann's Ann.* 36, 1 (1889); reprinted in (He62).]

*The properties of the fields in the intermediate region were investigated in detail by Hein-

aus Heald & Horn = classical electrodynamics

Strahlungswiderstand

Wir stellen uns den Hertz'schen Dipol als einen zeitabhängigen Generator vor der 2 Kugeln anläßt



Generatorstrom $I = \frac{dq}{dt}$
Dipolmoment $p = q(t) d$ $\Rightarrow I = \dot{p}/d$

$$p = p_0 e^{-i\omega t} \Rightarrow I = I_0 e^{-i\omega t}$$

$$\text{mit } p_0^2 = (I_0 d / \omega)^2$$

$$\frac{dI}{d\Omega} = \frac{\pi I_0^2}{2c} \left(\frac{d}{\lambda}\right)^2 \sin^2 \vartheta$$

gemäß der allgem. Formel

$$\frac{dI}{d\Omega} \Big|_{\text{Dipol}} = \frac{1}{4\pi c^3} \ddot{p}^2 \sin^2 \vartheta$$

Die gesamte Leistung ist dann

$$\langle I \rangle = \frac{2}{3c^3} I_0^2 d^2 \omega^2 = \frac{4\pi^2 I_0^2}{3c} \left(\frac{d}{\lambda}\right)^2$$

Um diese Strahlungsleistung aufrecht zu halten muß der Generator dem

oszillierender Dipol beständig Energie zuführen
In Analogie zur Jouleschen Wärme

$$\langle P \rangle_{\text{gem}} = \langle \dot{J}^2 \rangle R = \frac{1}{2} J_0^2 R$$

definiert man den Faktor vor $\frac{1}{2} J_0^2$
in P als den Strahlungs Widerstand

$$R_{\text{str}} = \frac{8\pi^2}{3c} \left(\frac{d}{\lambda}\right)^2$$

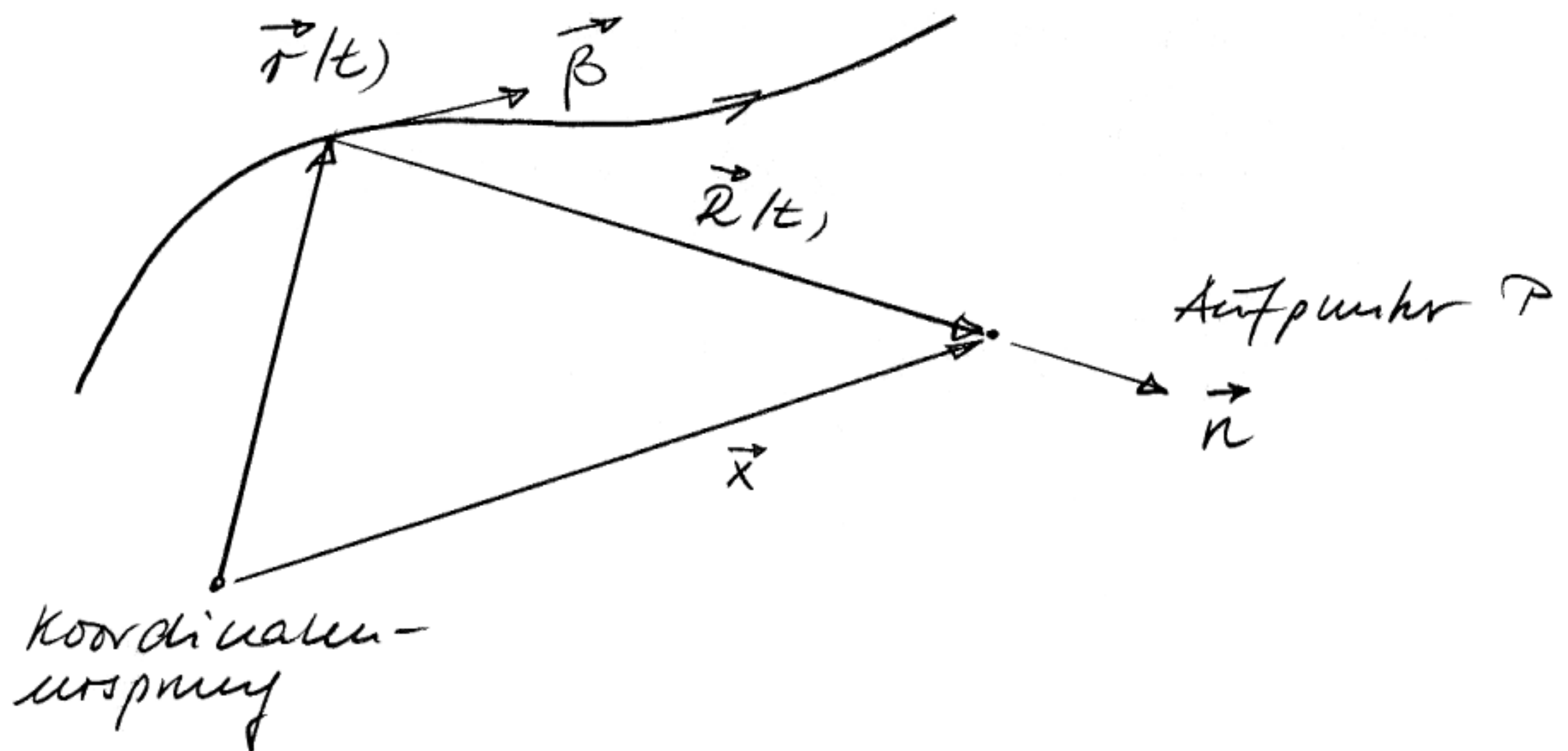
$$\left(\sigma_T: = \frac{2\pi}{3} \sqrt{\frac{\mu_0}{\epsilon_0}} \left(\frac{d}{\lambda}\right)^2 = 789 \left(\frac{d}{\lambda}\right)^2 \text{ Ohm} \right)$$

wegen $\frac{d}{\lambda} \ll 1$ für Hertz'scher Dipol im
 R_{str} sehr klein!

Effiziente Antennen brauchen $d \sim \lambda$!

7.5. Liénard - Wiechert Potentiale

Ziel dieses Kapitels ist die Berechnung des elektromagnetischen Feldes einer beliebig bewegten Punktladung e . Wir nehmen an daß sich die Punktladung entlang einer Trajektorie $\vec{r}(t)$ bewegt



$\vec{r}(t)$ Ort der Punktladung

\vec{x} Aufpunkt (Beobachtungspunkt)

$\vec{v}(t) = \dot{\vec{r}}(t)$ Teilchengeschwindigkeit

$$\vec{\beta}(t) = \frac{1}{c} \vec{v}(t)$$

$$\vec{R}(t) = \vec{x} - \vec{r}(t)$$

Abstandsvektor zwischen Beobachtungspunkt P und Aufenthaltsort der Teilchen zur Zeit t

$$\vec{n} = \frac{1}{R} \vec{R} \quad ; \quad R = |\vec{R}|$$

Wir können die Punktladung mit Trajektorie $\vec{r}(t)$ und folgende Ladungs- und Stromdichten beschreiben

$$\rho(\vec{x}, t) = e \delta(\vec{x} - \vec{r}(t)) \quad (1a)$$

$$\vec{j}(\vec{x}, t) = e \vec{v}(t) \delta(\vec{x} - \vec{r}(t)) \quad (1b)$$

Damit ergibt sich für das skalare Potential

$$\begin{aligned} \varphi(\vec{x}, t) &= \int d^3x' \frac{\rho(\vec{x}', t - \frac{1}{c} |\vec{x} - \vec{x}'|)}{|\vec{x} - \vec{x}'|} \\ &= \int d^3x' \int dt' \frac{\rho(\vec{x}', t')}{|\vec{x} - \vec{x}'|} \delta(t' - t + \frac{|\vec{x} - \vec{x}'|}{c}) \\ &= e \int dt' \frac{1}{|\vec{x} - \vec{r}(t')|} \delta(t' - t + \frac{|\vec{x} - \vec{r}(t')|}{c}) \\ (1a) \quad &= e \int dt' \frac{1}{R(t')} \delta(t' - t + \frac{1}{c} R(t')) \end{aligned}$$

Um die Integration über t' auszuführen definieren wir

$$t'' = t' - t + \frac{1}{c} R(t')$$

$$\begin{aligned} \text{Dann gilt} \\ dt'' &= dt' + \frac{1}{c} \frac{dR(t')}{dt'} dt' \\ &= dt' - \frac{1}{c} \frac{\vec{v}(t') \cdot \vec{R}(t')}{R(t')} dt' \\ &= dt' (1 - \vec{\beta}(t') \cdot \vec{n}(t')) \end{aligned}$$

und folgen

$$\varphi(\vec{x}, t) = e \int dt'' \frac{\delta(t'')}{R(t') [1 - \vec{\beta}(t') \cdot \vec{n}(t')]} \Rightarrow$$

$$\varphi(\vec{x}, t) = e \frac{1}{R(t') [1 - \vec{\beta}(t') \cdot \vec{n}(t')]} \Big|_{t' = t - \frac{1}{c} R(t')} \quad (*)$$

wobei die retardierte Zeit $t' = t_{\text{ret}}$ die Lösung der impliziten Gleichung

$$t' = t - \frac{1}{c} R(t')$$

ist.

völlig analog findet man

$$\vec{A}(\vec{x}, t) = \left[\frac{e \vec{\beta}}{(1 - \vec{\beta} \cdot \vec{n}) \cdot R} \right]_{\text{ret}} \quad (**)$$

wobei $[\dots]_{\text{ret}}$ bedeutet, daß $\vec{\beta}$, \vec{n} und R zur retardierten Zeit $t' = t - \frac{1}{c} R(t')$ auszuwerten sind.

(*) und (**) heißen Lienard-Wiecher Potentiale.

Als nächstes wollen wir die Feldstärken $\vec{E}(\vec{x}, t)$ und $\vec{B}(\vec{x}, t)$ berechnen. Man kann diese direkt aus (*) und (**) berechnen. Im wesentlichen ist dies eine recht lässliche algebraische Rechnung (siehe etwa T. Fießbad, Elektrodynamik). Wir wollen hier aber eher erfahren, bei wem, wo ra den Helmholtzgleichungen für die elem. Felder angeht. Nach Kapitel 7.3 gilt

$$\Delta \vec{E}^\omega + \frac{\omega^2}{c^2} \vec{E}^\omega = 4\pi \left(\nabla \rho^\omega + \frac{-i\omega}{c^2} \vec{j}^\omega \right)$$

$$\Delta \vec{B}^\omega + \frac{\omega^2}{c^2} \vec{B}^\omega = -\frac{4\pi}{c} \text{rot} \vec{j}^\omega$$

Wir kennen die Lösungen derartigen Helmholtz-Gleichungen aus dem Anfang zur Fouriertransformation. In der weiteren Rechnung betrachten wir uns auf das elektr. Feld \vec{E}^ω und überlassen die Rechnung für \vec{B}^ω zur Übung.

Für das retardierte Feld gilt

$$\vec{E}^\omega(\vec{x}) = -\int d^3x' \frac{\exp(i\frac{\omega}{c}|\vec{x}-\vec{x}'|)}{|\vec{x}-\vec{x}'|} \left[\vec{\nabla}' \rho^\omega - \frac{i\omega}{c^2} \vec{j}^\omega \right]$$

wobei

$$\rho^\omega(\vec{x}') = \int dt' e^{i\omega t'} \rho(\vec{x}', t')$$

$$\vec{j}^\omega(\vec{x}') = \int dt' e^{i\omega t'} \vec{v}(t') \rho(\vec{x}', t')$$

Folglich gilt

$$\vec{E}^\omega(\vec{x}) = -\int d^3x' \frac{1}{|\vec{x}-\vec{x}'|} \int dt' e^{i\omega(t' + \frac{1}{c}|\vec{x}-\vec{x}'|)} e$$

$$\left(\vec{\nabla}' - \frac{i\omega}{c^2} \vec{v}(t') \right) \delta(\vec{x}' - \vec{r}(t'))$$

$$= -e \int \frac{d^3x'}{|\vec{x}-\vec{x}'|} \int dt' e^{i\omega(t' + \frac{1}{c}|\vec{x}-\vec{x}'|)}$$

$$\left(\vec{\nabla}' - \frac{i\omega}{c} \vec{\beta}(t') \right) \delta(\vec{x}' - \vec{r}(t'))$$

wobei $\vec{\beta} := \frac{1}{c} \vec{v}$

$$= -e \int \frac{d^3x'}{|\vec{x}-\vec{x}'|} \int dt' e^{i\omega(t'+\frac{|\vec{x}-\vec{x}'|}{c})} (\vec{v}' - \frac{i\omega}{c} \vec{\beta}(t')) \delta(\vec{x}' - \vec{r}(t'))$$

$$= +e \int \frac{d^3x'}{|\vec{x}-\vec{x}'|} \int dt' e^{i\omega(t'+\frac{|\vec{x}-\vec{x}'|}{c})} \left(-\frac{i\omega}{c} \frac{\vec{x}-\vec{x}'}{|\vec{x}-\vec{x}'|} + \frac{\vec{x}-\vec{x}'}{|\vec{x}-\vec{x}'|^2} \right.$$

p.I. im 1. Term

Randterme verschwinden

$$+ \frac{i\omega}{c} \vec{\beta}(t')) \delta(\vec{x}' - \vec{r}(t'))$$

$$= e \int dt' e^{i\omega(t'+\frac{1}{c}R(t'))} \left[-\frac{i\omega}{c} \frac{\vec{R}}{R^2} + \frac{\vec{R}}{R^3} + \frac{i\omega}{c} \frac{1}{R} \vec{\beta} \right]$$

$$= e \int dt' e^{i\omega(t'+R(t')/c)} \frac{1}{R} \left(\frac{\vec{R}}{R^2} - \frac{i\omega}{c} (\vec{n} - \vec{\beta}) \right)$$

$$*) \text{ p.I. } = e \int dt' e^{i\omega(t'+R(t')/c)} \left[\frac{\vec{R}}{R^3} + \frac{1}{c} \frac{d}{dt'} \left(\frac{\vec{n} - \vec{\beta}}{R(1-\vec{\beta} \cdot \vec{n})} \right) \right]$$

Führe nun die Fourier - Rücktransf. aus

$$\vec{E}(\vec{x}, t) = e \int \frac{d\omega}{2\pi} e^{-i\omega t} \int dt' e^{i\omega(t'+R(t')/c)}$$

$$\left[\frac{\vec{R}(t')}{R^3(t')} + \frac{1}{c} \frac{d}{dt'} \left(\frac{\vec{n}(t') - \vec{\beta}(t')}{R(t')(1-\vec{\beta}(t') \cdot \vec{n}(t'))} \right) \right]$$

$$= e \int dt' \delta(t' - t + \frac{R}{c}) \left[\dots \right]$$

$$= e \int dt'' \delta(t'') \frac{1}{1-\vec{\beta} \cdot \vec{n}} \left[\dots \right]$$

$$= \left[\frac{e}{1-\vec{\beta} \cdot \vec{n}} \left(\frac{\vec{R}}{R^3} + \frac{1}{c} \frac{d}{dt'} \left(\frac{\vec{n} - \vec{\beta}}{R(1-\vec{\beta} \cdot \vec{n})} \right) \right) \right]_{t=t'}$$

*) Verwende

$$\frac{d}{dt'} e^{i\omega(t'+R/c)} = i\omega(1-\vec{\beta} \cdot \vec{n}) e^{i\omega(t'+R/c)}$$

und dass bei p.I. die Randterme weggelassen werden können.

Die weitere Rechnung ist die Auswertung der Ableitung im 2. Term. Die Rechnung ist trivial, aber etwas langwierig:

$$\begin{aligned} \frac{d}{dt} \frac{\vec{n} - \vec{\beta}}{R(1 - \vec{\beta} \cdot \vec{n})} &= \\ &= \frac{(\dot{\vec{n}} - \dot{\vec{\beta}})(R - \vec{\beta} \cdot \vec{R}) - (\vec{n} - \vec{\beta})(\dot{R} - \dot{\vec{R}} \cdot \vec{\beta} - \vec{R} \cdot \dot{\vec{\beta}})}{(R - \vec{R} \cdot \vec{\beta})^2} \\ &= \frac{[-\dot{\vec{\beta}}(R - \vec{\beta} \cdot \vec{R}) + (\vec{n} - \vec{\beta})(\dot{\vec{R}} \cdot \vec{\beta})] + [\dot{\vec{n}}(R - \vec{\beta} \cdot \vec{R}) - (\vec{n} - \vec{\beta})(\dot{R} - \dot{\vec{R}} \cdot \vec{\beta})]}{(R - \vec{R} \cdot \vec{\beta})^2} \end{aligned}$$

a) Beide Nennigengsterm $\sim \dot{\vec{\beta}}$

$$= -\dot{\vec{\beta}}(R - \vec{\beta} \cdot \vec{R}) + (\vec{n} - \vec{\beta})(\dot{\vec{R}} \cdot \vec{\beta})$$

$$= R(-\dot{\vec{\beta}}(1 - \vec{n} \cdot \vec{\beta}) + (\vec{n} - \vec{\beta})(\vec{n} \cdot \dot{\vec{\beta}}))$$

$$= R(-\dot{\vec{\beta}}((\vec{n} - \vec{\beta}) \cdot \vec{n}) + (\vec{n} - \vec{\beta})(\vec{n} \cdot \dot{\vec{\beta}}))$$

$$= R(\vec{n} \times ((\vec{n} - \vec{\beta}) \times \dot{\vec{\beta}}))$$

↑

$$\vec{a} \times (\vec{b} \times \vec{c}) = \vec{b}(\vec{a} \cdot \vec{c}) - \vec{c}(\vec{a} \cdot \vec{b})$$

$$\dot{\vec{R}} = -\dot{\vec{r}} = -\vec{\beta} \cdot c$$

$$\dot{\vec{R}} = -\vec{\beta} \cdot \vec{n} c$$

$$\dot{\vec{n}} = (\vec{R}/R)' = \frac{R \dot{\vec{R}} - \vec{R} \cdot \dot{R}}{R^2} = -\frac{c}{R}(\vec{\beta} - \vec{n}(\vec{\beta} \cdot \vec{n}))$$

$$\dot{\vec{n}} \perp \vec{n}$$

b) Gedanklich kein abh. Terme

$$\begin{aligned}
 & \vec{n} (R - \vec{\beta} \cdot \vec{R}) - (\vec{n} - \vec{\beta}) (R - \vec{R} \cdot \vec{\beta}) \\
 &= -\frac{c}{R} (\vec{\beta} - \vec{n} (\vec{\beta} \cdot \vec{n})) R (1 - \vec{\beta} \cdot \vec{n}) \\
 &\quad - (\vec{n} - \vec{\beta}) (-c) (\vec{\beta} \cdot \vec{n} - \beta^2) \\
 &= -c \left(\vec{\beta} - \vec{\beta} (\vec{\beta} \cdot \vec{n}) - \vec{n} (\vec{\beta} \cdot \vec{n}) + \vec{n} (\vec{\beta} \cdot \vec{n})^2 \right. \\
 &\quad \left. - \vec{n} (\vec{\beta} \cdot \vec{n}) + \vec{n} \beta^2 + \vec{\beta} (\vec{\beta} \cdot \vec{n}) - \vec{\beta} \beta^2 \right) \\
 &= -c \left(\vec{\beta} (1 - \beta^2) - 2 \vec{n} (\vec{\beta} \cdot \vec{n}) + \vec{n} (\beta^2) \right. \\
 &\quad \left. + \vec{n} (\vec{\beta} \cdot \vec{n})^2 \right) \\
 &= -c \left(\vec{\beta} (1 - \beta^2) + \vec{n} (\beta^2 - 1) \right. \\
 &\quad \left. \vec{n} \left(\underbrace{(\vec{\beta} \cdot \vec{n})^2 + 1 - 2 \vec{n} (\vec{\beta} \cdot \vec{n})}_{(1 - \vec{\beta} \cdot \vec{n})^2} \right) \right) \\
 &= -c \left(-(\vec{n} - \vec{\beta}) (1 - \beta^2) + \vec{n} (1 - \vec{\beta} \cdot \vec{n})^2 \right)
 \end{aligned}$$

Zusammen:

$$= \frac{R (\vec{n} \times ((\vec{n} - \vec{\beta}) \times \vec{\beta})) - c (-(\vec{n} - \vec{\beta}) (1 - \beta^2) + \vec{n} (1 - \vec{\beta} \cdot \vec{n})^2)}{R^2 (1 - \vec{n} \cdot \vec{\beta})^2}$$

$$= \frac{\vec{n} \times ((\vec{n} - \vec{\beta}) \times \vec{\beta})}{(1 - \vec{\beta} \cdot \vec{n})^2 R} + \frac{c (\vec{n} - \vec{\beta}) (1 - \beta^2)}{R^2 (1 - \vec{n} \cdot \vec{\beta})^2} - \underbrace{\frac{c}{R^2} \frac{R}{R}}$$

kürzt den 1. Term
in $\vec{E}(\vec{x}, t)$

Damit findet man insgesamt

$$\vec{E} = e \left[\frac{(\vec{n} - \vec{\beta})(1 - \beta^2)}{(1 - \vec{\beta} \cdot \vec{n})^3 R^2} + \frac{\vec{n} \times ((\vec{n} - \vec{\beta}) \times \dot{\vec{\beta}})}{c (1 - \vec{\beta} \cdot \vec{n})^3 R} \right]_{\text{ret}}$$

Eine analoge Rechnung führt auf

$$\vec{B} = [\vec{n}]_{\text{ret}} \times \vec{E}$$

Damit sind die elem. Felder einer beliebig bewegten Ladung explizit bestimmt; sie heißen Lienard - Wichner Felder.

Der 1. Term in \vec{E} ist das Feld einer gleichförmig bewegten Punktladung. Dies Feld kann man auch über eine Lorentz-Transformation aus dem elektrischen Feld einer ruhenden Punktladung berechnen (siehe späteres Kapitel zur kovarianten Formulierung der Elektrodynamik). Dieser 1. Term ist proportional zu $1/R^2$ und trägt damit auch nicht zur Strahlung bei. Dies ist konsistent mit der Lorentz-Invarianz der Elektrodynamik, da man immer in ein Bezugssystem gehen kann (für $\dot{\vec{\beta}} = 0$) in welchem die Punktladung ruht und folglich nicht strahlen kann.

Der 2. Term ist proportional zur Teilchenbeschleunigung $\dot{\vec{\beta}}$. Er fällt wie $1/R$ ab und bestimmt folglich die Abstrahlung.

Der zugehörige Energiefluss in Richtung von $\vec{n} = \vec{r}/R$ lautet

$$\vec{S} \cdot \vec{n} = \frac{c}{4\pi} |\vec{E}|^2$$

$$= \frac{1}{4\pi R^2} \frac{e^2}{c} \left[\frac{1}{(1-\vec{\beta} \cdot \vec{n})^6} |\vec{n} \times ((\vec{n} - \vec{\beta}) \times \dot{\vec{\beta}})|^2 \right]_{\text{ret}}$$

Man merke sich, daß die Richtung der Vektoren innerhalb des Absolutbetrags die Richtung des \vec{E} -Feldes angeben, d.h. die Polarisation der Strahlung.

Beachte auch daß für den Strahlungsanteil \vec{E} und $\vec{B} \perp \vec{n}$ sind.

7.6. Strahlung von beschleunigten Punktladungen

Der Ausdruck Φ gibt die pro Zeiteinheit und Flächeneinheit in Richtung von \vec{n} (am Aufpunkt) abgestrahlte Energie zur Zeit t an. Diese Strahlung wurde zur Zeit $t_{\text{ret}} = t - R(t_{\text{ret}})/c$ ausgestrahlt. Interessant für uns ist die Energie, die das Teilchen auf seiner Bahn pro retardierter Zeiteinheit verliert. Wegen

$$\frac{dt_{\text{ret}}}{dt} = 1 - \vec{\beta} \cdot \vec{n}$$

ist die Strahlungsleistung in dem Raumwinkel $d\Omega$

$$\begin{aligned} \frac{dP(t_{\text{ret}})}{d\Omega} &= R^2 (\vec{J} \cdot \vec{n}) \frac{dt}{dt_{\text{ret}}} \\ &= \frac{e^2}{4\pi c} \frac{1}{(1 - \vec{\beta} \cdot \vec{n})^5} \underbrace{|\vec{n} \times ((\vec{n} - \vec{\beta}) \times \dot{\vec{\beta}})|^2}_{\text{Richtung des E-Feldes}} \end{aligned}$$

Diese wichtige Formel werden wir in folgenden mehrfachen anwenden.

BEACHTEN

Notation $\vec{J} \equiv P$ (Leistung)

(a) Nichtrelativistische Grenzfall ($\beta \ll 1$)

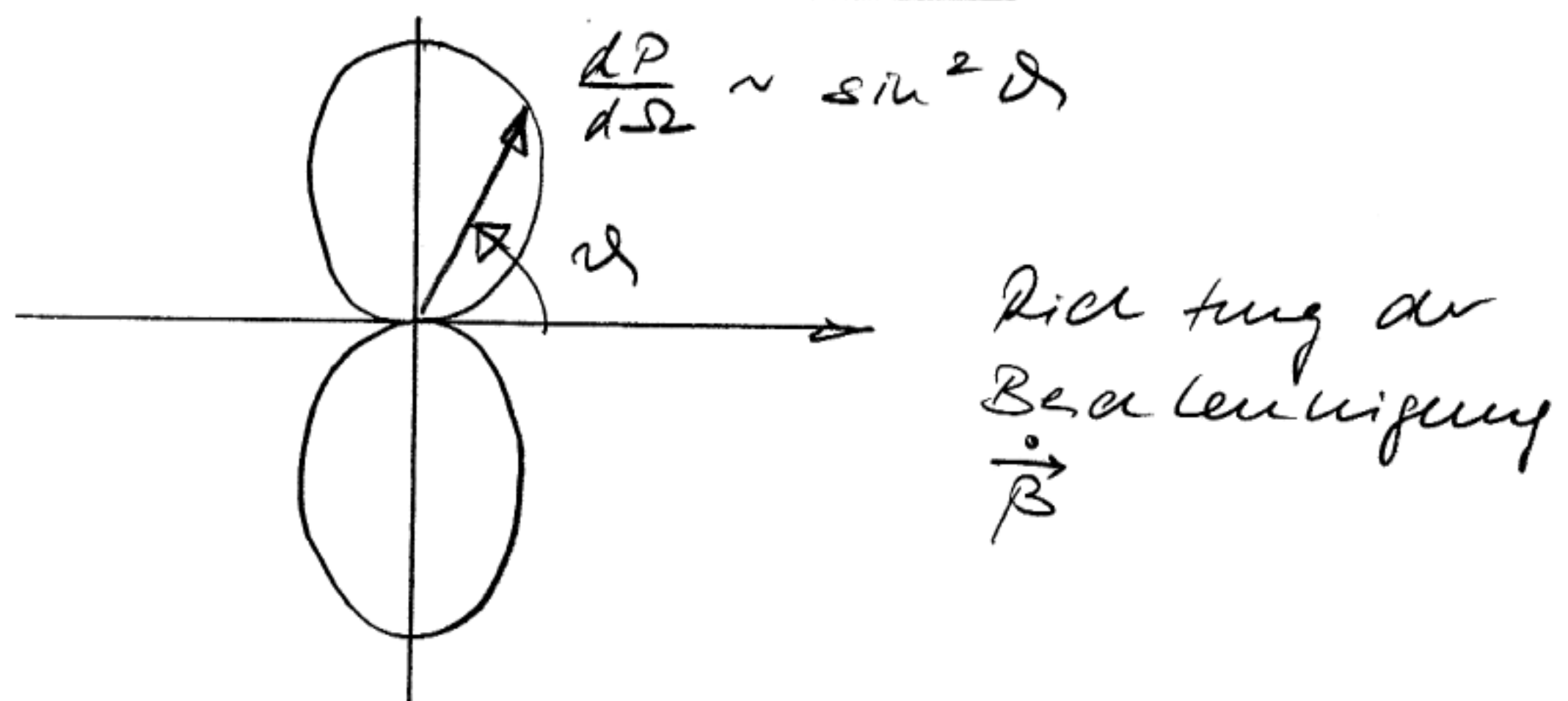
Dieser Fall ist z.B. für Röntgenstrahlen relevant, wenn die Elektronen in Metallen abgebremst werden, führt dies zu einer elem. Strahlung, der sog. Bremsstrahlung

$$\boxed{\frac{dP}{d\Omega} \approx \frac{e^2}{4\pi c} |\vec{n} \times (\vec{n} \times \dot{\vec{\beta}})|^2} \quad \beta \ll 1$$

$$d\Omega = \sin\vartheta \, d\vartheta \, d\phi$$

Die abgestrahlte Leistung $dP/d\Omega$ hängt nicht von der Richtung der Geschwindigkeit $\vec{\beta}$ ab, sondern von der Richtung nach von der Größe der Geschwindigkeit

$$\boxed{\frac{dP}{d\Omega} = \frac{e^2}{4\pi c} |\dot{\vec{\beta}}|^2 \sin^2\vartheta}$$



Die Strahlungsverteilung wird als Polarkoordinate $\vartheta = dP/d\Omega$ im ϑ - ϑ Diagramm aufgetragen.

Die gesamte Strahlung Leistung betren

$$P = \frac{2e^2}{3c^3} \dot{\vec{v}}^2 \quad (\text{Larmor Formel})$$

(b) Relativistische Verallgemeinerung der Larmor Formel

Man kann die relativistische Verallgemeinerung auch mit etwas Hilfe durch Winkelintegration der allgemeiner Ausdruck fur $dP/d\Omega$ erhalten. Einfacher geht dies mit einer relativistischen uberlegung. Da die abgestrahlte Energie dE_s in der Zeit dt_{ret} gleich $P dt_{\text{ret}}$ ist und dE_s die 0-Komponente eines 4er Vektors ist, muss P Lorentz invariant sein (dt_{ret} ist 0-Komponente des 4er Vektors x^μ).

$P =$ Lorentz skalar

P darf nur von β und $\dot{\beta}$ abhangen wie ein Blick auf die Gleichung fur $dP/d\Omega$ zeigt. Durch diese Forderung und den bereits berechneten nicht-rel. Grenzfall ist P eindeutig bestimmt

$$P = \frac{2e^2}{3c^3} \frac{1}{m^2} \frac{d\vec{p}}{dt} \cdot \frac{d\vec{p}}{dt}$$

$$\rightarrow - \frac{2e^2}{3c^3 m^2} \frac{dp^\mu}{d\tau} \frac{dp_\mu}{d\tau}$$

Wobei p der Vierimpuls ist und τ die Eigenzeit

$$p^\mu = m\gamma (c, \vec{v}) = \left(\frac{E}{c}, \vec{p} \right)$$

$$p^\mu p_\mu = \frac{E^2}{c^2} - \vec{p}^2 = m^2 c^2 \quad \text{da Lorentzskalar}$$

$$E^2 = p^2 c^2 + m^2 c^4$$

$$\gamma = \frac{1}{\sqrt{1-\beta^2}}$$

$$cdt = \gamma c d\tau \quad (d\tau = dt \sqrt{1-\beta^2})$$

Diese kann formulierung ist die einzig mögliche, denn man hat nur die 4er Vektoren p und $dp/d\tau$ zur Verfügung stehen. Wegen

$$p \cdot p = m^2 c^2 \quad \text{ist} \quad p \cdot \frac{dp}{d\tau} = 0$$

Lix wollen nun den relativistisch kovarianten Ausdruck

$$\mathcal{F} = - \frac{2e^2}{3m^2 c^3} \frac{dp^\mu}{d\tau} \frac{dp_\mu}{d\tau}$$

ausdrückt durch $\vec{\beta}$ und $\dot{\vec{\beta}}$ ausdrücken.

$$\begin{aligned} \frac{dp}{d\tau} &= \left(\frac{d}{d\tau} (m\gamma c), \frac{d}{d\tau} (m\gamma \vec{v}) \right) \\ &= \left(\sqrt{1-\beta^2} \right)^{-1} \left(\frac{d}{dt} \frac{mc}{\sqrt{1-\beta^2}}, \frac{d}{dt} \left(\frac{m\vec{v}}{\sqrt{1-\beta^2}} \right) \right) \\ &= \left(\sqrt{1-\beta^2} \right)^{-1} \left(\frac{\vec{\beta} \cdot \dot{\vec{\beta}}}{(1-\beta^2)^{3/2}} mc, \frac{m\vec{v} (\vec{\beta} \cdot \dot{\vec{\beta}})}{(1-\beta^2)^{3/2}} + \frac{mc \dot{\vec{\beta}}}{\sqrt{1-\beta^2}} \right) \\ &= (mc) \left(\gamma^4 \vec{\beta} \cdot \dot{\vec{\beta}}, \gamma^4 \vec{\beta} (\vec{\beta} \cdot \dot{\vec{\beta}}) + \gamma^2 \dot{\vec{\beta}} \right) \end{aligned}$$

die Minkowski Länge dann wir

$$\begin{aligned} - \frac{dp}{dt} \frac{dp}{dt} &= m^2 c^2 \gamma^6 \left[(\vec{\beta} \cdot \dot{\vec{\beta}})^2 \beta^2 \gamma^2 + 2(\vec{\beta} \cdot \dot{\vec{\beta}})^2 \right. \\ &\quad \left. + \frac{1}{\gamma^2} (\dot{\vec{\beta}})^2 - \gamma^2 (\vec{\beta} \cdot \dot{\vec{\beta}})^2 \right] \\ &= m^2 c^2 \gamma^6 \left[(\dot{\vec{\beta}} \cdot \dot{\vec{\beta}})^2 (\gamma^2 \beta^2 + 2 - \gamma^2) + \frac{1}{\gamma^2} (\dot{\vec{\beta}})^2 \right] \end{aligned}$$

wir benutzen $(\vec{\beta} \times \dot{\vec{\beta}})^2 = \beta^2 \dot{\vec{\beta}}^2 - (\vec{\beta} \cdot \dot{\vec{\beta}})^2$

und erhalten

$$\begin{aligned} - \frac{dp}{dt} \frac{dp}{dt} &= m^2 c^2 \gamma^6 \left[-(\vec{\beta} \times \dot{\vec{\beta}})^2 + \beta^2 \dot{\vec{\beta}}^2 + \frac{1}{\gamma^2} \dot{\vec{\beta}}^2 \right. \\ &\quad \left. - \underbrace{(\vec{\beta} \cdot \dot{\vec{\beta}})^2 + (\vec{\beta} \cdot \dot{\vec{\beta}})^2 (\gamma^2 \beta^2 + 2 - \gamma^2)}_{=0} \right] \end{aligned}$$

$$- \left(\frac{dp}{dt} \right)^2 = m^2 c^2 \gamma^6 \left(\dot{\vec{\beta}}^2 - (\vec{\beta} \times \dot{\vec{\beta}})^2 \right)$$

Folglich finden wir

$$\mathcal{P} = \frac{2c^2}{3c} \gamma^6 \left[\dot{\vec{\beta}}^2 - (\vec{\beta} \times \dot{\vec{\beta}})^2 \right]$$

c) Lineare Bewegung $\vec{\beta} \parallel \dot{\vec{\beta}}$

Dieser einfache Fall ist insbesondere für linear beschleunigte relevant.

$$\vartheta = \angle(\vec{\beta}, \vec{n})$$

$$\frac{dP}{d\Omega} = \frac{e^2}{4\pi c} \frac{1}{(1-\vec{\beta} \cdot \vec{n})^5} |\vec{n} \times (\vec{n} \times \dot{\vec{\beta}})|^2$$

$$= \frac{e^2}{4\pi c^3} \frac{\dot{v}^3}{(1-\beta \cos \vartheta)^5} \sin^2 \vartheta$$

$\beta \ll 1 \quad \leadsto$ Larmor-Formel

$\beta \rightarrow 1 \quad \leadsto$ Strahlung konzentriert in Vorwärtsrichtung

Die Intensität wird maximal bei

$$\vartheta_{\max} = \cos^{-1} \left[\frac{1}{3\beta} (\sqrt{1+15\beta^2} - 1) \right] \xrightarrow{\beta \rightarrow 1} \frac{1}{2\beta}$$

In diesem extrem relativistischen Fall

ist die Intensität beim Maximum $\sim \gamma^8$.

Die Strahlung ist in einem kleineren Winkel

in der Vorwärtsrichtung konzentriert.

Näherungsweise gilt

$$\frac{dP}{d\Omega} \approx \frac{8}{\pi} \frac{e^2}{c^3} \dot{v}^2 \gamma^8 \frac{(\gamma \vartheta)^2}{(1+\gamma^2 \vartheta^2)^5}$$

$$\sqrt{\langle \vartheta^2 \rangle} = \frac{1}{\gamma}$$

Die gesamte Strahlungsverluste für und der
allgemeinen Formel

$$P = \frac{2e^2}{3c^3} \gamma^6 [\dot{\beta}^2]$$

$$= \frac{2e^2}{3c} \dot{v}^2 \gamma^6$$

→ streue Figur nähere Teile für $\frac{dP}{d\Omega}$

SLAC: e in 3 km auf 50 GeV

Die Strecke auf der die Energie um die
Röhrenlänge der Elektronen erhöht wird

($m_e c^2 = 0.5 \text{ MeV}$) ihr

$$l = \frac{m_e c^2}{dE/dl} = \frac{0.5 \text{ MeV}}{50 \text{ GeV}/3 \text{ km}} = 3 \text{ cm}$$

Hochrel. Fall ($E \gg m_e c^2$): $E \approx pc$
und $v \approx c$

$$\rightarrow \frac{dp}{dt} \approx \frac{d(E/c)}{dt} \approx \frac{d(E/c)}{dl/c} = \frac{dE}{dl} = \frac{m_e c^2}{l}$$

$$\Delta E_{\text{str}} (l = 3 \text{ cm}) \approx P \cdot \frac{l}{c}$$

$$\approx \frac{2e^2}{3m_e^2 c^3} \left(\frac{m_e c^2}{l} \right)^2 \frac{l}{c} = \frac{2}{3} \frac{e^2}{l} = \frac{2}{3} \frac{14.4 \text{ eV}}{3 \text{ cm}/c}$$

$$\approx 3 \cdot 10^{-8} \text{ eV} \ll \ll \Delta E = m_e c^2 \approx 5 \cdot 10^5 \text{ eV}$$

$$\left(\frac{e^2}{\text{Å}} = 14.4 \text{ eV} \right)$$

Strahlungsverluste für SLAC vernachlässigbar!

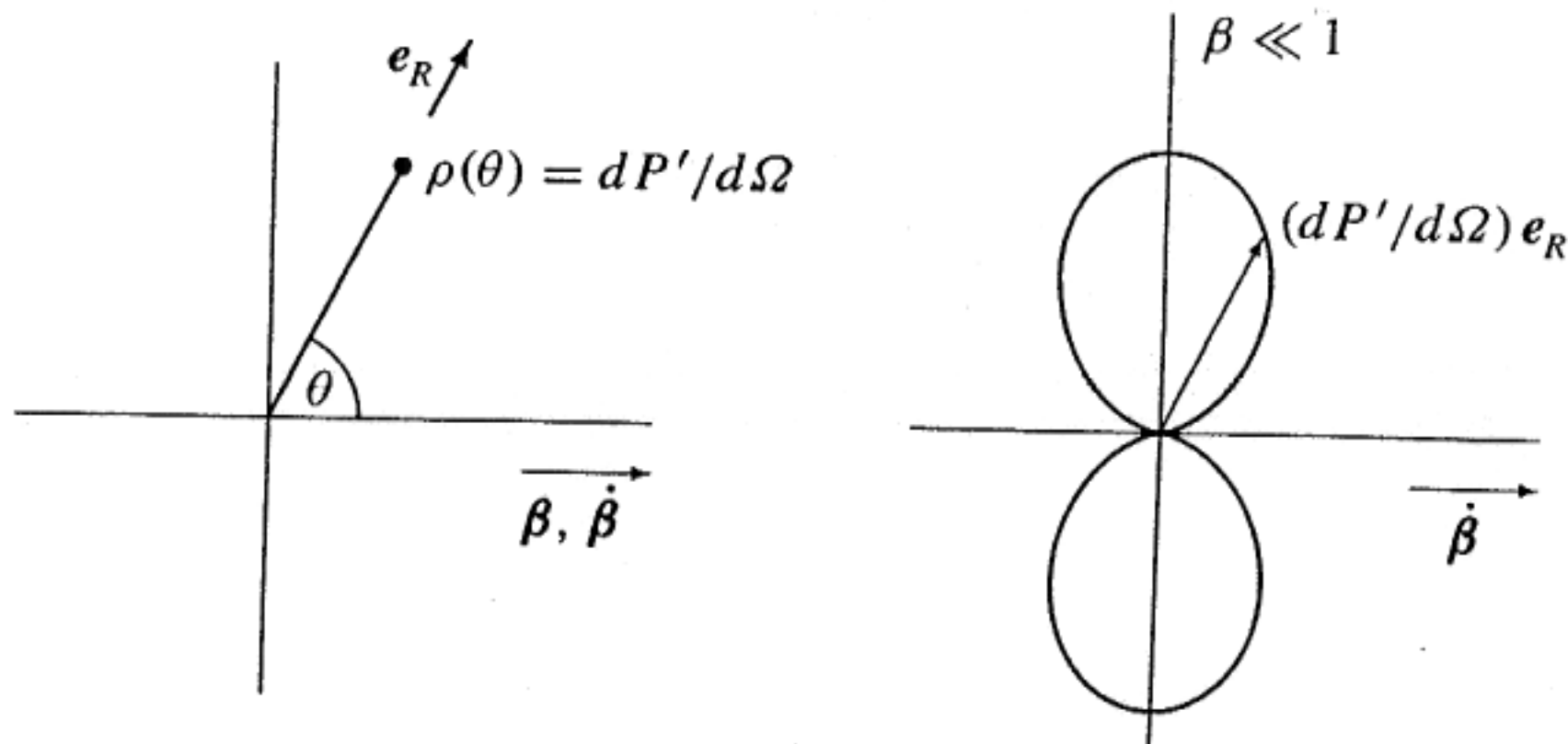


Abbildung 23.3 Die Strahlungsleistung (23.31) wird als Polarkoordinate $\rho = dP'/d\Omega$ im ρ - θ -Diagramm aufgetragen (links). Dabei ist θ der Winkel zwischen $v \parallel \dot{v}$ und der Ausstrahlungsrichtung e_R . Rechts ist die Strahlungsleistung $dP'/d\Omega \propto \sin^2 \theta$ für $\beta \ll 1$ gezeigt. In Richtung von e_r ist ein Vektor mit dem Betrag $dP'/d\Omega$ eingezeichnet. Für $\beta \ll 1$ ist die Abstrahlung unabhängig von der Richtung von v . Die abgestrahlte Leistung ist proportional zu \dot{v}^2 .

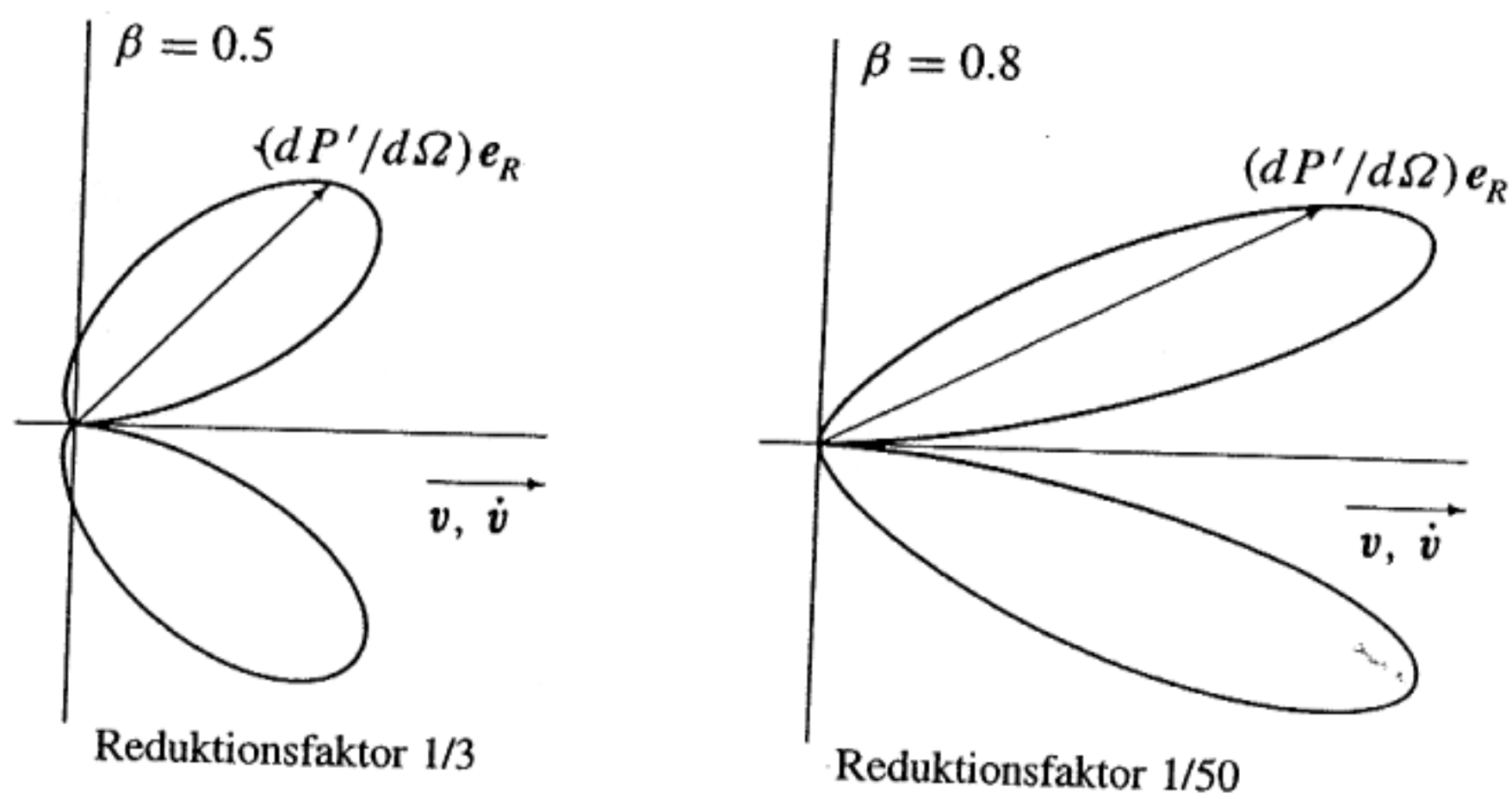


Abbildung 23.4 Winkelverteilung der Abstrahlung (23.31) einer beschleunigten Ladung für $\beta = 0.5$ und $\beta = 0.8$, jeweils für $v \parallel \dot{v}$. Mit zunehmender Geschwindigkeit wächst die Strahlung stark an und ist immer mehr nach vorn gerichtet. Die hier gezeigten Kurven wären in jeder Richtung um den Faktor 3 beziehungsweise 50 zu strecken, wenn man sie in Abbildung 23.3 rechts einzeichnen wollte; der Wert von \dot{v}^2 ist dabei in allen Fällen derselbe.

Thiefbed, Elektrodynamik